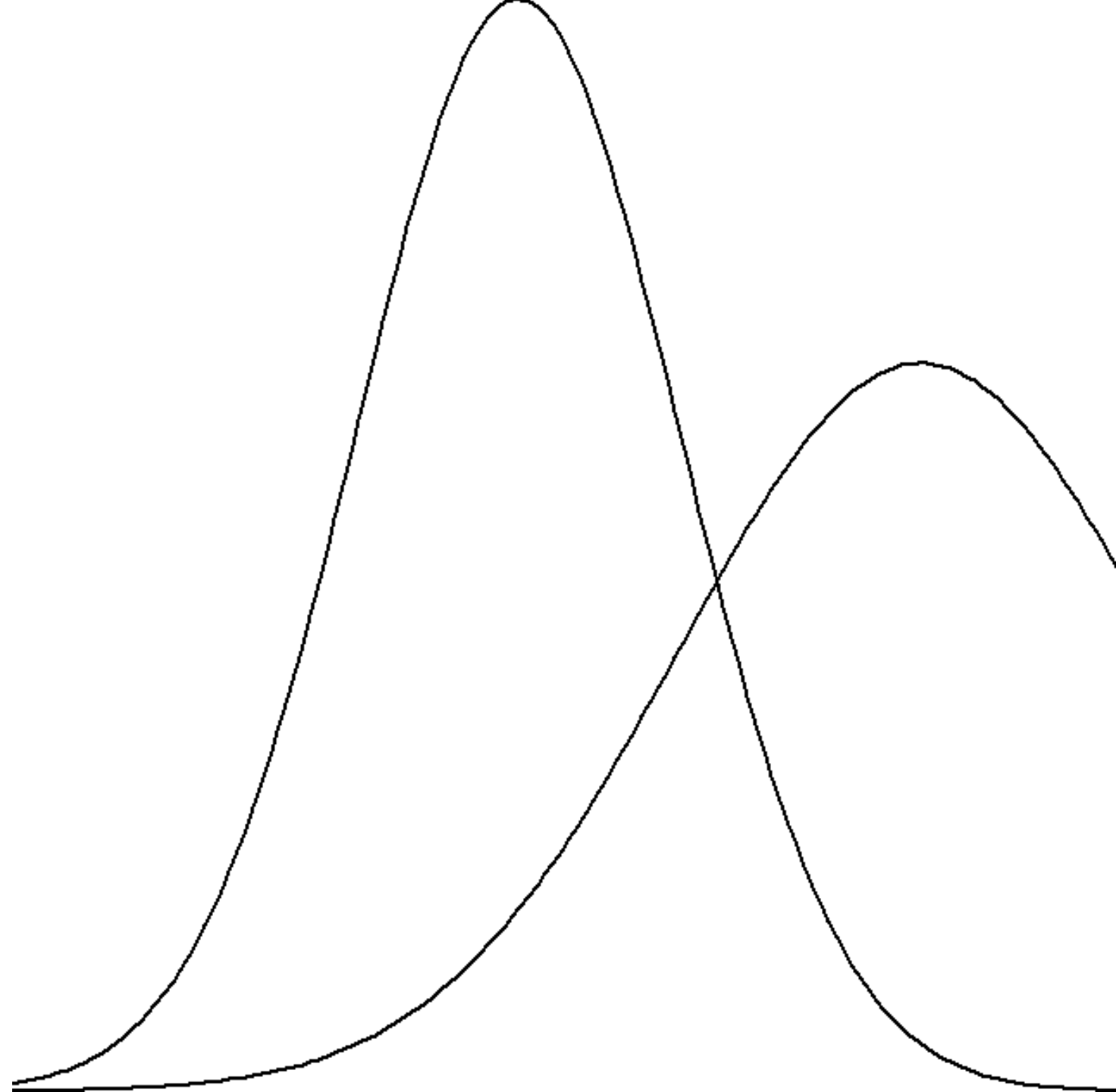


Test de comparación de densidades (Paquete sm)



UXIO MERINO, XOEL
MONTES & BORJA SOUTO



-
- 1. Problema:
 - Comparar distribuciones entre grupos va más allá de medias/varianzas (ej: formas complejas)
 - 2. Solución propuesta:
 - Métodos no paramétricos con `sm.density.compare`: kernel + tests de permutación
 - 3. Aplicación real:
 - Datos de supervivencia en tumores cerebrales (*ISLR2/BrainCancer*)



Hipótesis y Estadístico de Contraste

- 1. Hipótesis:
$$H_0 : f_1(y) = f_2(y) = \cdots = f_k(y) \quad \forall y$$
$$H_1 : \exists i, j, y \mid f_i(y) \neq f_j(y)$$



- 2. Estadístico ISE:
 - Para 2 grupos:
$$T = \int \left(\hat{f}_1(y) - \hat{f}_2(y) \right)^2 dy$$
 - Para $k > 2$ grupos:
$$T = \sum_{i=1}^k n_i \int \left(\hat{f}_i(y) - \hat{f}_{\text{global}}(y) \right)^2 dy$$

Implementación en `sm.density.compare`

- Selección del ancho de banda óptimo para cada grupo

- Selección de ancho de banda común:
$$h_{\text{común}} = \left(\prod_{i=1}^k h_i \right)^{1/k}$$
 (media geométrica)

- Estimación kernel con núcleo gaussiano:

$$K(u) = \frac{1}{\sqrt{2\pi}} e^{-u^2/2}$$

- Test de permutación:

$$(\hat{p} = \frac{1}{B} \sum_{b=1}^B I(T_b \geq T_{\text{obs}}))$$

- Redistribución aleatoria de etiquetas → p-valor empírico.

Bandas de Referencia y Visualización

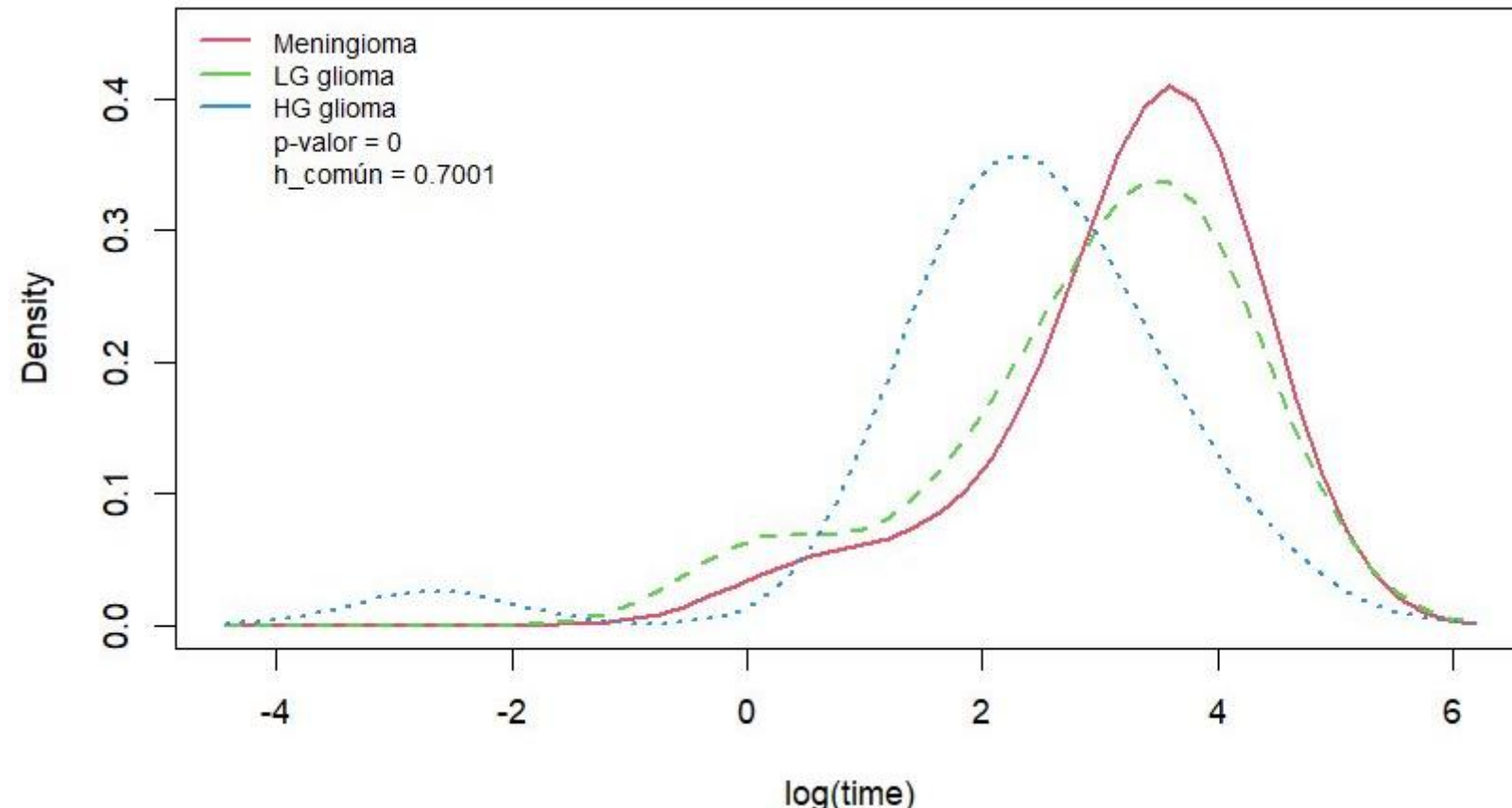
- Solamente cuando se comparan 2 grupos
- Transformación estabilizadora de la varianza $\text{Var}[\sqrt{\hat{f}(y)}] \approx \frac{R(K)}{2nh_{\text{común}}}$
- $R(K)$ representa la integral del cuadrado del núcleo
- Las bandas de confianza se construyen transformando de vuelta a la escala original los intervalos derivados para las densidades transformadas

Propiedades teóricas

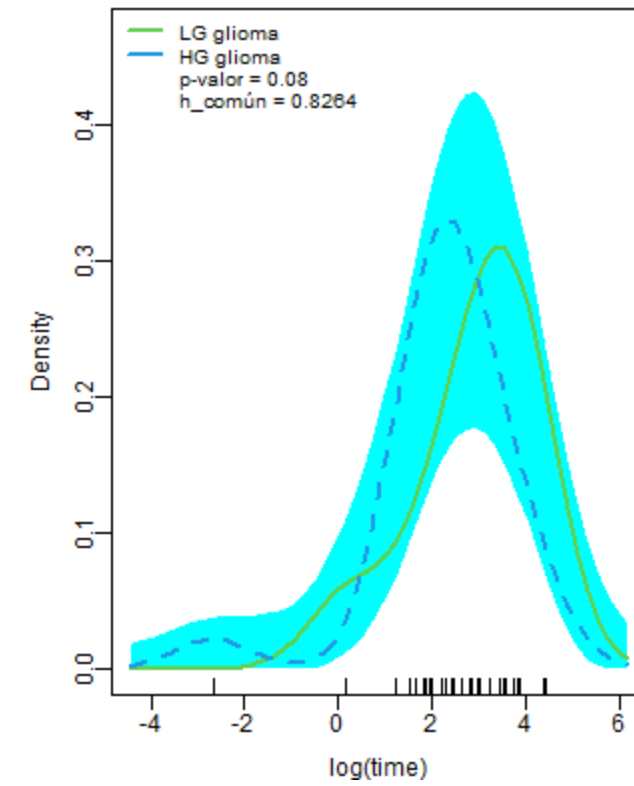
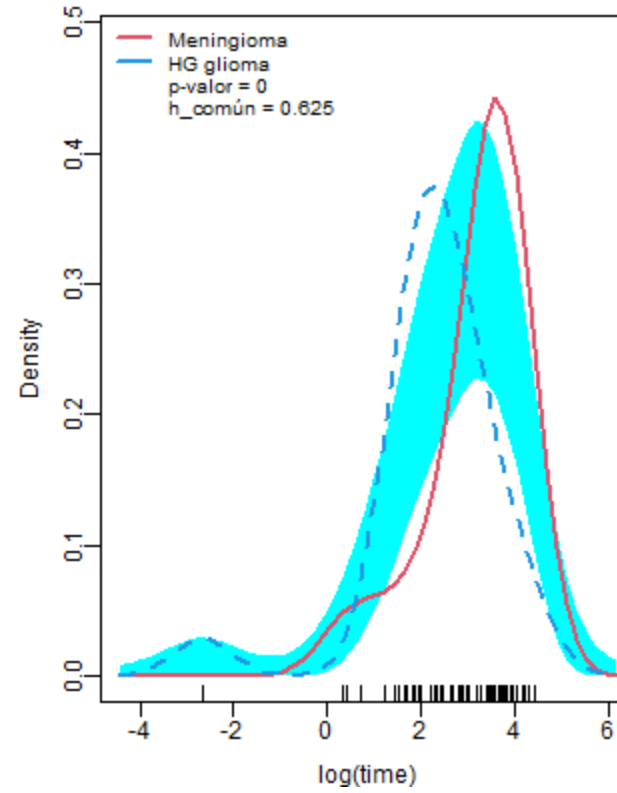
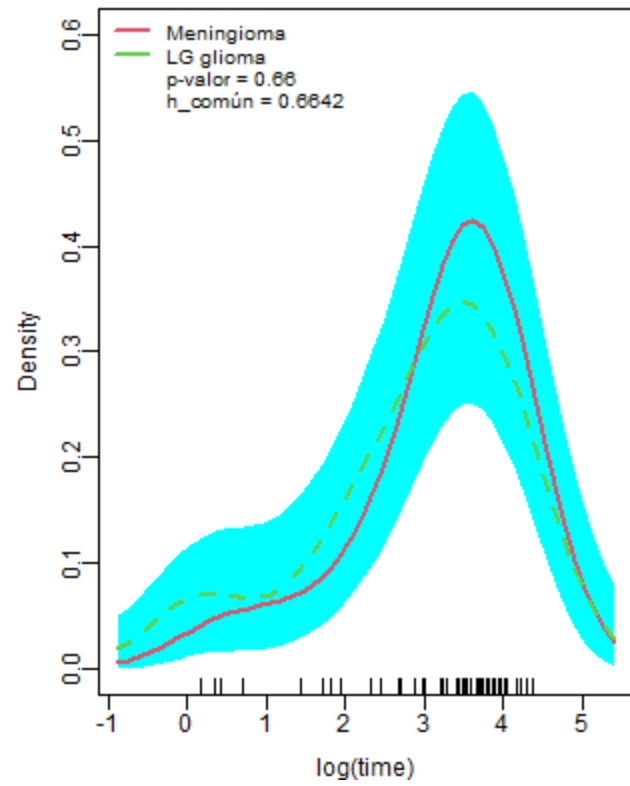
- **Sesgo:**
 - El uso de un h común asegura que bajo $H_0: E[\hat{f}_i(y) - \hat{f}_j(y)] = 0$
- **Varianza asintótica:** $\text{Var}[\hat{f}(y) - \hat{g}(y)] \approx \frac{R(K)}{nh}(f(y) + g(y)),$ donde $R(K) = \int K^2(u)du$
- **Consistencia:** $h \rightarrow 0$ y $nh \rightarrow \infty$ cuando $n \rightarrow \infty$
- **Optimalidad** MISE asintótico mínimo bajo kernels simétricos no negativos (ej: gaussiano)
- **Invarianza bajo transformaciones:** $\hat{f}_{T(Y)}(y) - \hat{g}_{T(Y)}(y) \approx \hat{f}_Y(T^{-1}(y)) - \hat{g}_Y(T^{-1}(y))$

Aplicación a datos reales

- Conjunto de datos de Brain Cancer: Meningioma, LG glioma, HG glioma

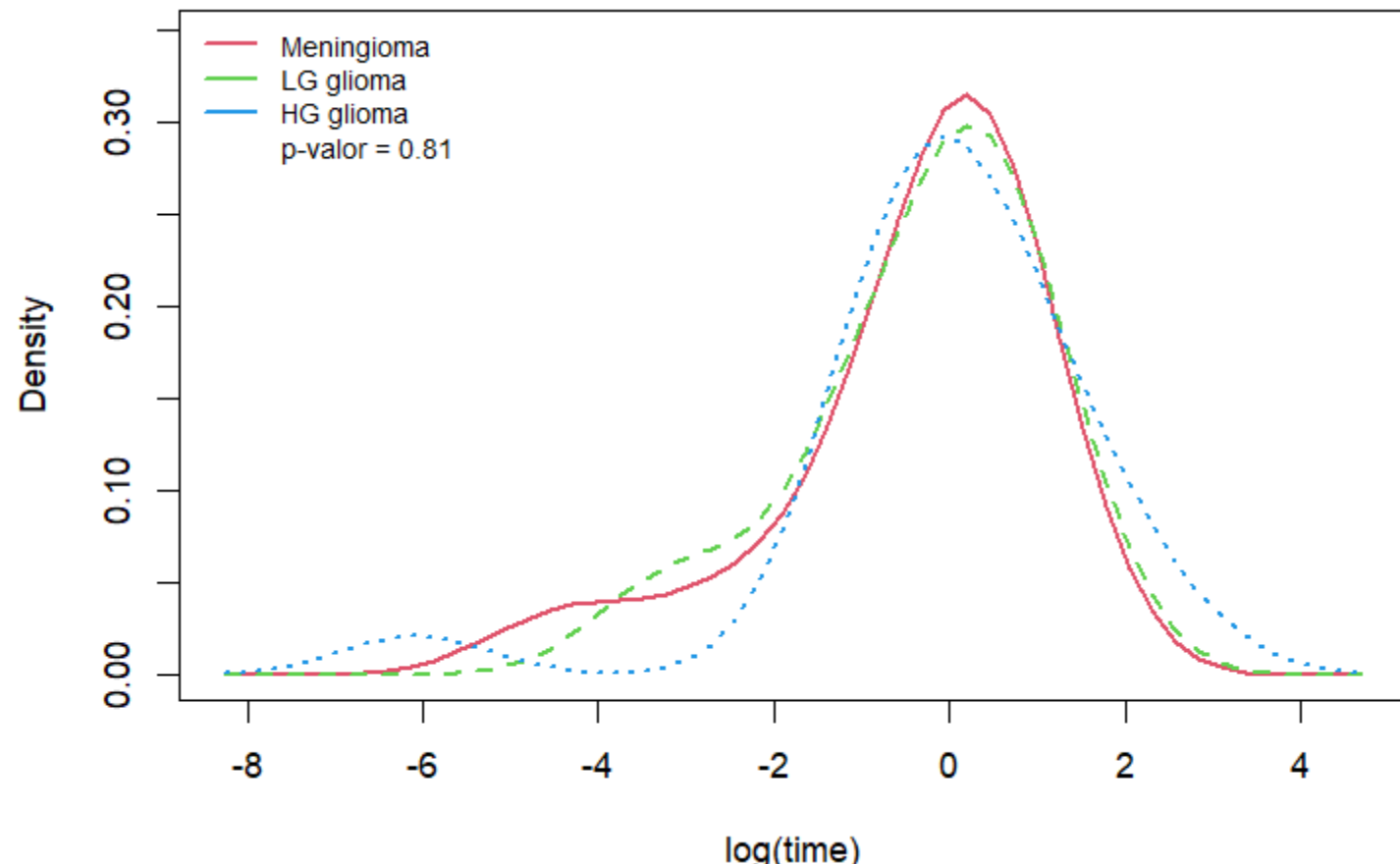


Aplicación a datos reales



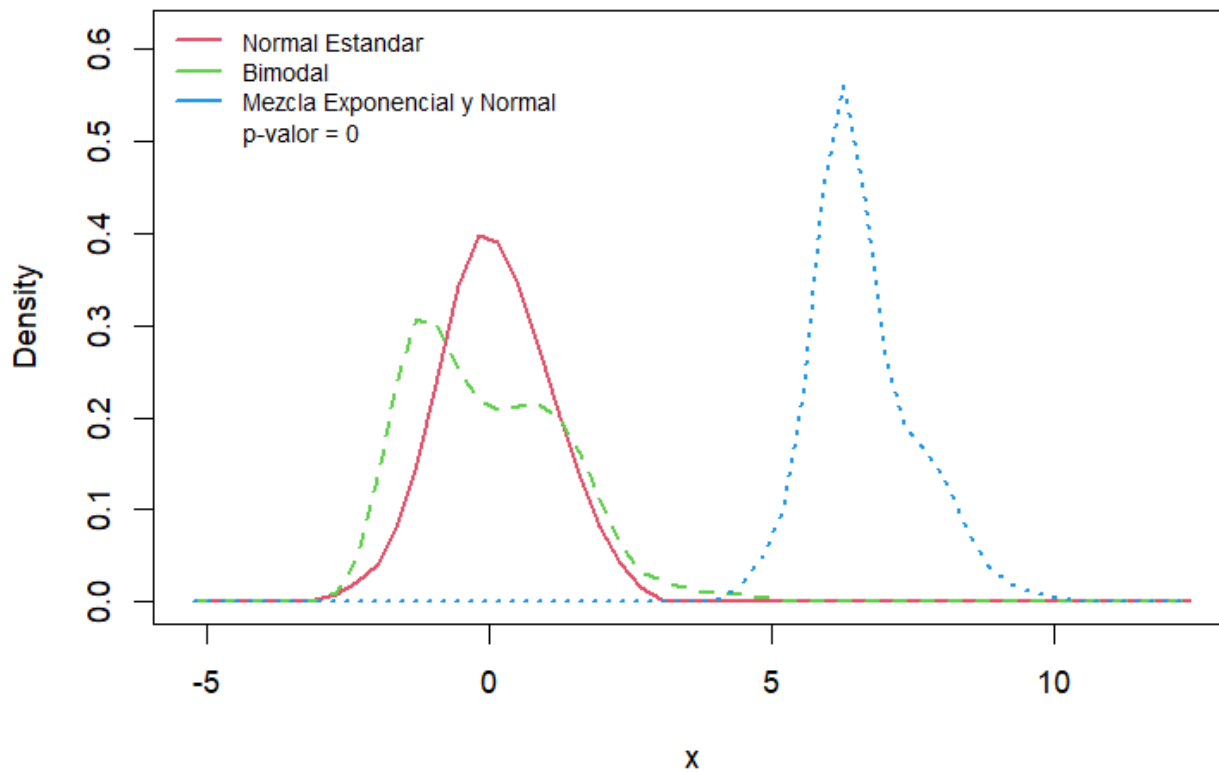
Aplicación a datos reales

- Estandarizando los tiempos



i !
Diferencia únicamente
en localización

Aplicación a datos simulados



Test No Paramétrico basado en suma de rangos

Kruskal-Wallis rank sum test

data: x by datos\$label
Kruskal-Wallis chi-squared = 200.21, df = 2, p-value < 2.2e-16

Aplicación a datos simulados

- Datos estandarizados

```
> kruskal.test(datos$d_est ~ datos$label)

  Kruskal-Wallis rank sum test

  data: datos$d_est by datos$label
  Kruskal-Wallis chi-squared = 3.4502, df = 2, p-value = 0.1782

> kwAllPairsNemenyiTest(datos$d_est, datos$label, dist="chisq")

  Pairwise comparisons using Nemenyi's all-pairs test with chi-square approximation

  data: datos$d_est and datos$label

    1   2
  2 0.96 -
  3 0.22 0.35

  P value adjustment method: single-step
  alternative hypothesis: two.sided
> pairwise.wilcox.test(datos$d_est, datos$label,
+                      p.adjust.method = "bonf" )

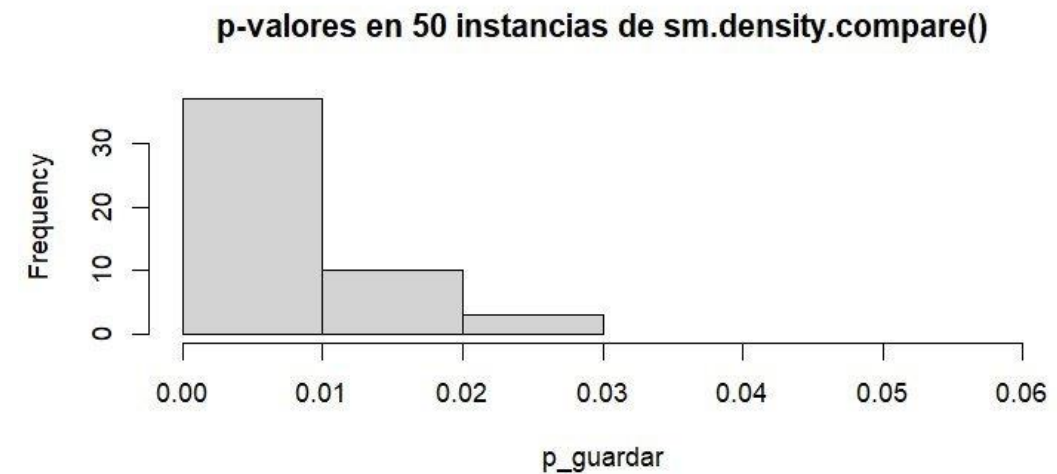
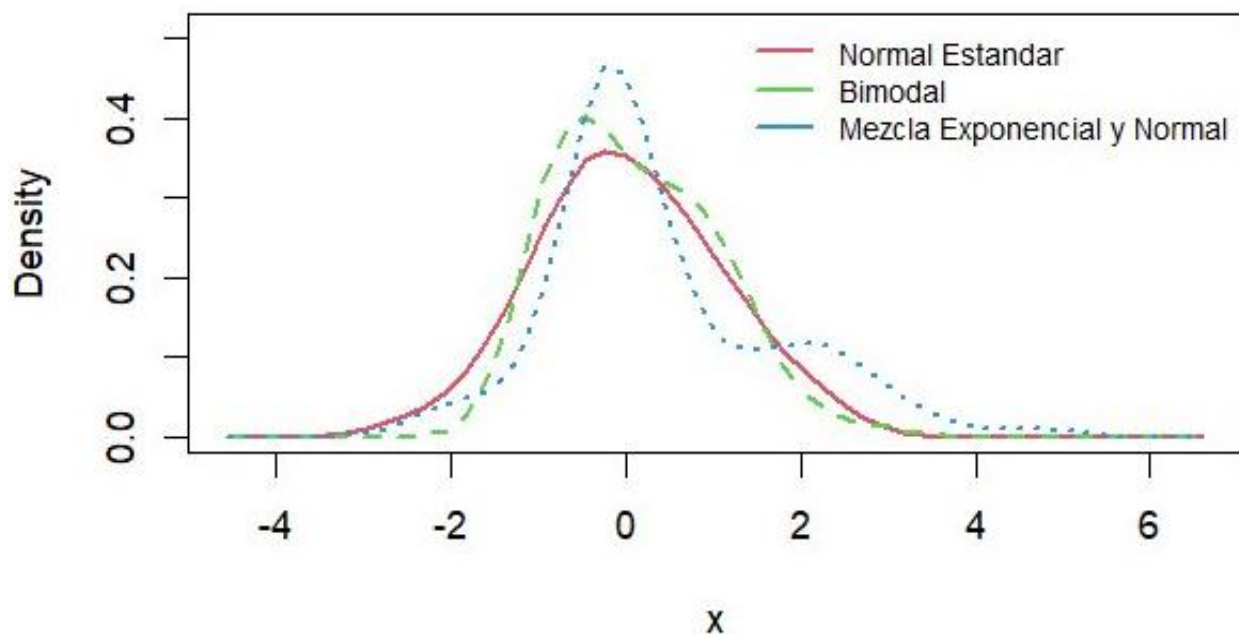
  Pairwise comparisons using wilcoxon rank sum test with continuity correction

  data: datos$d_est and datos$label

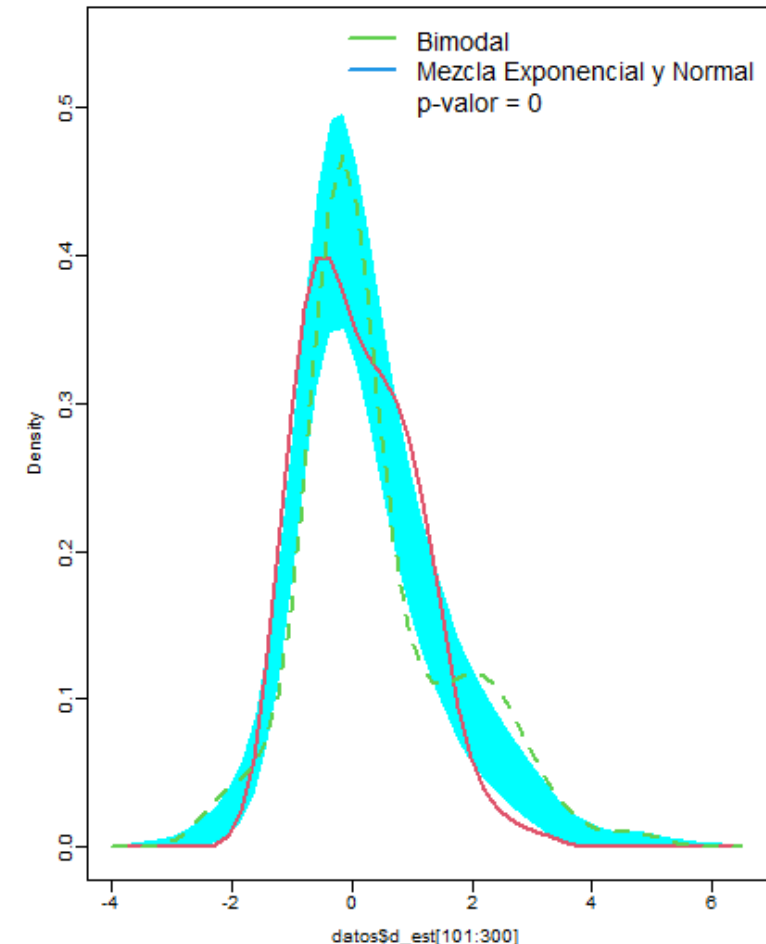
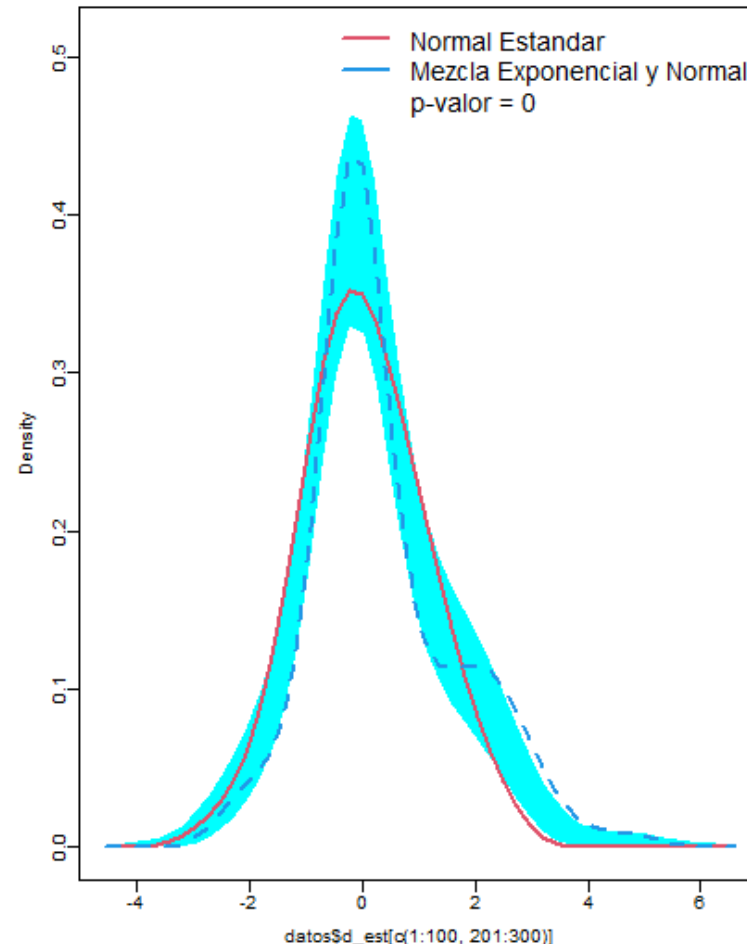
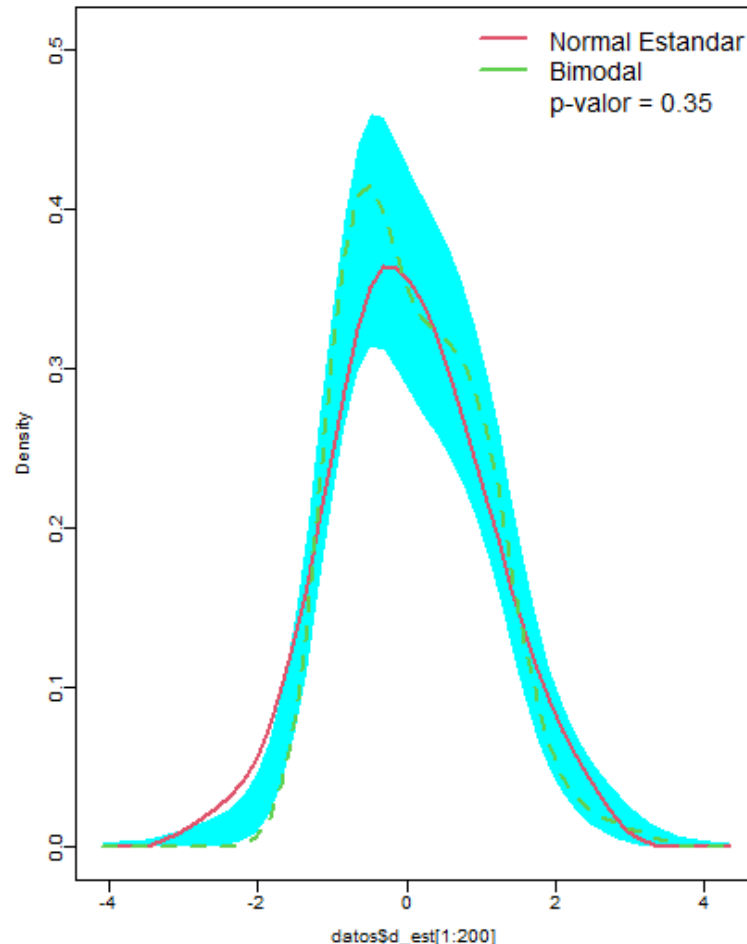
    1   2
  2 1.00 -
  3 0.29 0.39

  P value adjustment method: bonferroni
> |
```

Aplicación a datos simulados



Aplicación a datos simulados



Conclusiones

- Comparación distribuciones más allá de diferencias en medias o varianzas.
- sm.density.compare integra visualización, contraste de hipótesis y evaluación gráfica.
- Ancho de banda común, optimalidad del estimador y adaptabilidad a distintos datos.
- Gran valor del suavizado kernel